

大林組 正員 ○小島省三  
新日本製鉄 雨宮栄一郎  
大林組 徳永正博

### 1. まえがき

前回報告した解析方法で杭を解析する場合、我が国の土への適用性および地盤定数の選定が不明確である。これらの問題を明らかにするために、今回は单杭の極端杭に関して、砂質土および粘性土に対する実験結果と比較検討を試みたので、ここに概要報告する。

### 2. 杭-地盤系の非線形特性

地盤は粘性土と砂質土の2種類を考え、前者については Matlock の提案する  $P-y$  曲線で、また後者に対しては Parker & Reese の提案する  $P-y$  曲線で力学特性を表現する。<sup>(2)</sup>

#### 2-1. 粘性土の $P-y$ 曲線

Matlock は粘性土に対して (1) 式の様な  $P-y$  曲線を提案しており、本解析でもこれを採用した。

$$\frac{P}{P_u} = 0.5 \left( \frac{y}{y_{50}} \right)^{\frac{1}{3}} \quad \dots \dots \dots (1)$$

ここで  $P$ : 地盤反力 ( $\text{kN}/\text{cm}$ )  $y$ : 杭変位 ( $\text{cm}$ )

$P_u$ : 橫方向極限支持力 ( $\text{kN}/\text{cm}$ )

$y_{50}$ : 至  $\frac{P_u}{2}$  に相当する変位 ( $\text{cm}$ )

横方向極限支持力  $P_u$  は破壊状況に応じ模型破壊域と流動破壊域とに分けて求める。模型破壊域は地表面近くに、また流動破壊域はそれ以下に生ずる。

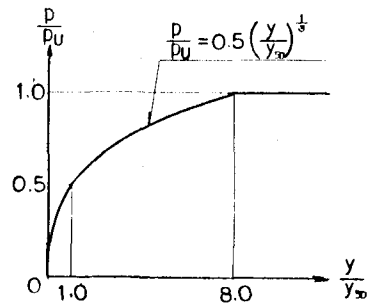


図-1 粘性土に対する  $P-y$  曲線

#### 2-2. 砂質土の $P-y$ 曲線

Parker & Reese は砂質土に対して、(2)式の様な  $P-y$  曲線を提案しており、本解析でもこれを採用した。

$$P = P_u \tanh \left( Kxy / P_u \right) = P_u \left( \frac{e^t - e^{-t}}{e^t + e^{-t}} \right) \quad \dots \dots \dots (2)$$

ここで  $t = Kxy / P_u$   $x$ : 地表面からの深さ ( $\text{cm}$ )

$K$ : 橫方向地盤反力定数 ( $\text{kN}/\text{cm}^2$ )

$y$ : 杭変位 ( $\text{cm}$ )  $P_u$ : 橫方向極限支持力 ( $\text{kN}/\text{cm}$ )

粘性土の場合と同様、横方向極限支持力  $P_u$  は、模型破壊域と流動破壊域とに分けて求める。

横方向地盤反力定数  $K$  の決定には、Terzaghi によって提案されている値を用いた。Terzaghi は次の(3)式を提案している。

$$K = A \cdot r / 1.35 \quad \dots \dots \dots (3)$$

ここで  $A$ : 砂の密度のみによって決まる定数 (表-1)

$r$ : 砂の有効単位体積重量 ( $\text{kN}/\text{cm}^3$ )

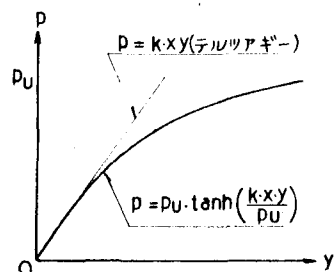


図-2 砂質土に対する  $P-y$  曲線

表-1

砂の相対密度	弛	中庸	密
$A$ の値の範囲	100~300	300~1000	1000~2000

### 3. 解析例

解析例は模型実験も含めて粘性工地盤、砂質地盤、それ以外に対し数ケースずつ行い、それが紙面の都合上、ここではその一部を紹介する。解析に用いた諸元および解析結果を表-1に示す。

表-2

		粘性土地盤		砂質土地盤	
実験地及び出典		久里浜	大字町	運輸省港研; 篠原・久保	八幡
地盤 の 諸 元	断面寸法 (mm)	鋼管杭 Ø216.3	鋼管杭 Ø300	平板 $\square 100 \times 25.1$	H形鋼杭 H305
	杭自由長 (m)	1.5	0.2	0.15	0.5
	埋込長	14.0	5.55	2.4	13.5
	曲げ剛性 EI (kgf)	$7.35 \times 10^9$	$7.875 \times 10^9$	$2.754 \times 10^7$	$4.5024 \times 10^6$
	等效単位重量 ( $\gamma_{eq}$ )	0.45	0.54	1.114	$1.73 \sim 2.5$ $2.5 \sim 4.5$ $4.5 \sim 7.5$
	内部マツリ角 $\phi_i$ (°)			45	40 40 35
	横力向地盤 反力定数 K			1.23	0.717 0.717 0.0889
	平均 N 値 $\bar{N}$			45	4 4 2
	粘着力 C (kgf)	$0.4 + 0.25 Z$	$2.5 + 0.3 Z$		
荷重支持力を求めるための無次元定数 J		0.25	0.5		
ひずみ $E_\infty$		0.015	0.005		
曲げモーメント図					

#### 4. 結果および考察

##### 4-1. 粘性土

結果は図に示す様に実験値と計算値は、おむね良く一致していると言える。横方向限限支持力を推定するのに必要な無次元定数 J-値は表-3 の様に選定すればよいと思われる。これは本報告に載せている検討結果以外の結果も含めて推定したものである。

##### 4-2. 砂質土

砂質土についても計算値は実験値とかなり良く一致することがわかった。この場合計算結果に影響する因子は内部マツリ角であるが、砂の相対密度から推定して内部マツリ角を用いた場合、計算値は全体的に実験値より大きく出る傾向がある。

#### 5. あとがき

この解析方法では詳細な工質データが多く必要であるが、今回の検討結果より、推定土質定数を使っても、かなり良く一致することが判った。今後、粘性土と砂質土の互層地盤についても実験結果との比較検討を行ない、更に斜杭、群杭の検討へと進めていきたいと考えている。

#### 6. 参考文献

- (1). 儀賀、雨宮、小島; 群杭効果を考慮した杭基礎の弾塑性解析, 土木学会第31回学術講演会講演概要集 S51.10
- (2). Hudson Matlock; Correlations for Design of Laterally Loaded Piles in Soft Clay, OTC, 1970
- (3). Frazier Parker, Jr., and Lyman C. Reese; Experimental and Analytical Studies of Behavior of Single Piles in Sand under Lateral and Axial Loading, Texas Univ. 1970

地盤の コンistency	軟らかい	中位	硬い
J 値	0.25	0.35	0.5